



转录因子 Runx3 对维持 T 细胞记忆表型的影响

高佳东, 吕正兵, 钱 程

(浙江理工大学生命科学与医药学院, 杭州 310018)

摘要:为了探究转录因子 Runx3 在人外周血 T 细胞中的功能,通过检测 T 细胞亚群中该基因的表达差异,并在过表达 Runx3 基因后分析 T 细胞亚群分布,进一步比较抑制性受体和下游基因的表达差异。结果表明:Runx3 主要表达于初始 T 细胞亚群中,与对照组相比,过表达 Runx3 可显著提高 T 记忆干细胞比例,且 PD1、Tim3 以及 Lag3 的表达显著降低;RT-qPCR 结果表明,Runx3-T 细胞中 *Blimp1* 表达显著降低, *SIRT1* 表达显著升高。因此,Runx3 蛋白可能通过调控 T 细胞分化和维持记忆表型相关基因 *Blimp1* 和 *SIRT1* 来提高 T 记忆干细胞比例,从而能够维持 T 细胞功能,延缓其衰竭。研究结论可为改进 T 细胞免疫疗法提供了重要的理论依据。

关键词: Runx3; T 细胞; 记忆干细胞; 抑制性受体; 分化

中图分类号: Q28

文献标志码: A

文章编号: 1673-3851 (2021) 05-0423-07

The effect of transcription factor Runx3 on maintaining the memory phenotype of T cells

GAO Jiadong, LÜ Zhengbing, QIAN Cheng

(College of Life Sciences and Medicine, Zhejiang Sci-Tech University, Hangzhou 310018, China)

Abstract: In order to explore the function of the transcription factor Runx3 in T cells in human peripheral blood, this paper examines the expression differences of this gene in T cell subsets, analyzes the distribution of T cell subsets after overexpression of Runx3 gene, and compares the expression difference between inhibitory receptor and downstream gene. The results show that Runx3 is mainly expressed in naive T cell subsets. Compared with the control group, overexpression of Runx3 can dramatically increase the ratio of T memory stem cell and reduce the expressions of PD1, Tim3 and Lag3. RT-qPCR results show that the expression of *Blimp1* in Runx3-T cells significantly decreases, while the expression of *SIRT1* significantly increases. Therefore, Runx3 protein probably increase the ratio of T memory stem cells by regulating the differentiation of T cells and maintaining genes *Blimp1* and *SIRT1* related to memory phenotype, so as to maintain the functions of T cells and delay their failure. This study provides an important theoretical basis for improving T cell immunotherapy.

Key words: Runx3; T cell; memory stem cell; inhibitory receptor; differentiation

0 引言

T 细胞是人体免疫系统的重要组成部分,基于 T 细胞开展的免疫细胞疗法是当今临床医学的研究

热点之一,尤其是嵌合抗原受体设计的 T 细胞疗法 (CAR-T) 和 T 细胞受体免疫疗法 (TCR-T) 已被证明在治疗肿瘤中具有良好效果,但仍存在易复发的不足^[1]。易复发是 T 细胞免疫疗法存在的主要问

题之一,提高T细胞的存续能力是解决易复发的举措之一^[2]。T细胞存续能力是指T细胞在肿瘤组织中存活并发挥功能的能力,而降低T细胞分化程度,是提高T细胞存续能力的手段之一^[3]。

存活期长、具有自我更新能力的记忆T细胞是适应性免疫系统对病原体和肿瘤作出二次免疫应答的一个关键因素^[4]。大多数效应T细胞在杀伤后凋亡,而记忆T细胞存活期更长,可达数年,接受相同抗原刺激后可迅速活化,并分化为效应T细胞,再次介导免疫应答^[5]。记忆T细胞中的T记忆干细胞(T memory stem cell, Tscm)细胞是一种分化程度较低的T细胞亚群,其在细胞功能上类似于初始T细胞(T native cell, Tn)细胞,具有较高的自我更新能力和多潜能性,并能够分化成中央记忆T细胞(Central memory cell, Tcm)、效应记忆T细胞(T effector memory cell, Tem),且存活能力、抗肿瘤活性均高于Tcm和Tem^[6]。抗原特异性Tscm在抗原消除后优先存活,并长期稳定存在^[7],一个长寿命的Tscm细胞在没有死亡或分化的情况下大约能存活12年^[5],因此,Tscm可以作为体现T细胞存续能力的指标之一。

Runx3蛋白是T细胞发育途径中重要调控因子,作为Runx转录因子家族的重要成员,Runx3可结合到目的基因的增强子和启动子中的核心DNA序列,激活或抑制转录下游靶基因^[8-10]。在T细胞发育过程中,Runx3主要参与前T细胞的发育,Runx3和ThPOK交叉拮抗调节是T细胞分化为辅助细胞和细胞毒性谱系的关键,Runx3负责在CD8⁺T细胞中建立CD4沉默^[11]。在T细胞活化后,Runx3参与维持CD8⁺效应T细胞(T effector cell, Te)发挥细胞毒性功能^[12],但其分子调控机制

仍不明确。本文通过分析Runx3在不同T细胞亚群中的表达差异,进一步探究Runx3在T细胞中的功能,期望为改进T细胞的免疫疗法提供新的理论依据。

1 材料与方法

1.1 材料与试剂

pL-luc-2A-GFP质粒由本实验室保存; Runx3 cDNA ORF Clone-Human购于北京义翘神州科技有限公司; PrimeSTAR® HS DNA Polymerase、DNA连接酶、PrimeScript™ RT reagent Kit with gDNA Eraser购于TaKaRa公司; Endo-Free Plasmid Maxi Kit购于Omega公司; FastDigest NheI、FastDigest EcoRI、M-PER™ Mammalian Protein Extraction Reagent购于Thermo公司; 琼脂糖购于上海生工生物工程股份有限公司; PCR引物购于南京金斯瑞生物科技有限公司(PCR和RT-qPCR的引物序列分别见表1和表2); Wizard® SV Gel and PCR Clean-Up System、GoTaq® qPCR Master Mix购于Promega公司; Runx3抗体(R3-5G4)购于Santa Cruz公司; PE/Cy7 anti-human CD3、Brilliant Violet 510™ anti-human CD8、Brilliant Violet 421™ anti-human CD45RA、PerCP/Cyanine5.5 anti-human CD45RO、Brilliant Violet 605™ anti-human CD62L、Brilliant Violet 711™ anti-human CD95(Fas)、PE anti-human CD197(CCR7)、APC anti-human CD366(Tim-3)、Brilliant Violet 421™ anti-human CD223(Lag-3)、PerCP/Cyanine5.5 anti-human CD279(PD-1)均购于Biolegend公司; BUV395 Mouse Anti-Human CD4购于BD公司。

表1 PCR引物序列

引物名称	序列
<i>NheI-Runx3-F</i>	CTAGCTAGCATGCGTATTCCCGTAGACCCAAGCACCGAGCCGC
<i>EcoRI-Runx3-R</i>	CCGGAATTCTGTAGGGCCGCCACACGGC

表2 RT-qPCR引物序列

基因	上游引物(5'-3')	下游引物(5'-3')	扩增子
GAPDH	GTCTCCTCTGACTTCAACAGCG	ACCACCCCTGTTGCTGTAGCCAA	131 bp
Runx3	GGCAATGACGAGAACTACTCCG	GATGGTCAGGGTCAAACCTCTCC	123 bp
ITGAL	CTGCTTTGCCAGCCTCTCTGT	GCTCACAGGTATCTGGCTATGG	117 bp
SPP1	CGAGGTGATAGTGTGGTTATGG	GCACCATTCAACTCCTCGCTTTC	146 bp
GATA3	ACCACAAACACACTCTGGAGGA	TCGTTTCTGGTCTGGATGCCT	128 bp
CD103	GACATGGATGGAAGCACGGACT	CTCAGTATGCGTGCCAAGGGAGA	132 bp
Blimp1	CAGTCCCTAAGAACGCCAACAGG	GTGCTGGATTACATAGCGCATC	131 bp
SIRT1	TAGACACGCTGGAACAGGTTGC	CTCCTCGTACAGCTTCACAGTC	129 bp

1.2 方法

1.2.1 pL-Runx3-2 A-GFP 过表达载体的构建

NheI-Runx3-EcoRI 基因片段由 Runx3 cDNA ORF Clone-Human 质粒载体通过 PCR 获得, 共计 1263 bp, 将 *NheI-Runx3-EcoRI* 基因片段和慢病毒载体 pL-luc-2A-GFP 用 *NheI*、*EcoRI* 双酶切, 分别切胶回收目的片段, 在 16 ℃连接, 转化感受态细胞后, 涂布于含浓度为 75 μg/mL 氨苄青霉素的 LB 固体平板上, 37 ℃培养过夜后, 通过挑选单克隆、酶切验证后进行测序鉴定重组载体 pL-Runx3-2A-GFP (8438 bp)。

1.2.2 慢病毒制备及 T 细胞的感染

10% FBS 的 DMEM 完全培养基培养 293T 细胞, 取含 1×10^7 个 293T 细胞液约 8 mL, 铺于 10 cm 培养皿中, 过夜培养。转染前 2 h, 弃培养基加 5 mL 5% FBS 的 DMEM 培养基继续培养。将 13 μg 混合包装质粒(RRE、REV、2G 质粒体积比为 4:3:6)和 25 μg 目的质粒, 轻柔混匀, 再向混合液中加入 60 μL 2.5 mol/L 的 CaCl₂, 用去离子水补足至 600 μL。将 600 μL 的 2× HBS 缓冲液逐滴加入质粒溶液中充分混匀, 37 ℃静置 3 min 将混合液加至预先温育的 5 mL DMEM 培养基中, 混匀 37 ℃静置 4 min, 将混合液轻柔倒入培养皿中, 混匀后 37 ℃培养。4 h 后弃去细胞上清, 换成含 5% FBS 的 DMEM 完全培养基继续培养。培养 48 h 后, 收集细胞上清 1000 r/min 室温离心 5 min 后过滤, 加入 2.5 mL 50% 的 PEG6000、950 μL 4 mol/L 的 NaCl, 4 ℃静置 2 h 后 1000 r/min, 4 ℃离心 1 h, 取 200 μL PBS 重悬病毒, 取 1 μL 感染 1×10^5 个 CHO 细胞使用流式的方法检测滴度。用 Beads 活化人外周血来源的 PBMC 细胞, 24 h 后加入等量 Runx3 病毒以感染 T 细胞, 并加入聚凝胺以提高感染率, 培养 24 h 后换液(10%FBS 的 1640 培养基+双抗+25 ng/mL 的 IL7、IL15、IL21), 于 37 ℃培养箱继续培养。

1.2.3 流式细胞术检测阳性率

在病毒感染第 10 天检测 Runx3-T 的阳性率, 以不加病毒的 T 细胞为对照组, 分别取含 5×10^5 个细胞的培养液 1 mL, 1000 r/min 室温离心 5 min 后弃上清, 用 PBS 清洗 1 次, 加入 200 μL 1% 的 FBS 的 PBS 重悬, 加 2 μL 所需要抗体孵育 30 min, 中途每隔 10 min 摆晃一次以充分孵育。加 1 mL PBS 清洗 1 次, 1000 r/min 室温离心 5 min 后用 200 μL 1% FBS 的 PBS 重悬, 转移至流式上样管,

上机检测。

1.2.4 蛋白提取及 Western blot 分析

取 1×10^6 个细胞用 PBS 清洗后加入 M-PER 裂解液(预加蛋白酶抑制剂), 冰浴 30 min 后 14000 r/min, 4 ℃离心 5 min 收上清; 按照 4:1 比例加入 5× SDS-PAGE 上样缓冲液, 100 ℃变性 10 min。配置 10% 的 SDS-PAGE 胶, 100 V 恒压电泳 2 ~ 3 h 后, 300 mA 恒流 100 min 将蛋白转至 PVDF 膜上, 5% 脱脂奶粉封闭 1 h, PBST 洗净浮色后剪下目的条带, 分别用 Runx3(1:200)和 GAPDH(1:2000)一抗 4 ℃孵育过夜。次日用 PBST 清洗后, 于摇床上室温孵育 HRP 标记的山羊抗小鼠 IgG(1:5000)1 h, PBST 清洗后加显色液上机拍照保存。

1.2.5 总 RNA 的提取

取含 1×10^6 个细胞的细胞悬液 1 mL 于 RNase 和 DNase I Free 的离心管中 1000 r/min 室温离心 5 min 弃去上清, 加入 1 mL trizol 裂解细胞, 室温静置 5 min 后加入 trizol 的 1/5 体积量的氯仿, 剧烈振荡, 室温静置 5 min。12000 r/min, 4 ℃离心 15 min 吸取上清液加入等体积的异丙醇, 混匀后静置 10 min。12000 r/min, 4 ℃离心 10 min 后弃上清, 加入 DEPC 水稀释的 75% 乙醇 1 mL, 12000 r/min, 4 ℃离心后弃上清。室温自然晾干沉淀, 加入 20 μL 的 RNase-free 水溶解沉淀, -80 ℃保存。

1.2.6 cDNA 制备和实时荧光定量 PCR 分析

去除基因组 DNA 反应体系: 1 μg RNA, 2 μL 5× g DNA Eraser Buffer, 1 μL gDNA Eraser, RNase Free H₂O 补足 10 μL, 室温反应 5 min。逆转录反应体系: 上一步反应液 10 μL, 1 μL PrimeScript RT Enzyme Mix I, 1 μL RT Primer Mix, 4 μL 5× PrimeScript Buffer 2 (for Real Time), 4 μL RNase Free H₂O, 反应条件: 37 ℃ 15 min, 85 ℃ 35 s。实时荧光定量 PCR 反应体系: 5 μL 2× GoTaq CQ qPCR Master Mix, 0.2 μL 上游引物, 0.2 μL 下游引物, 0.1 μL 100× CXR, 4.5 μL cDNA 模板。反应条件: 95 ℃ 预变性 10 min, 95 ℃ 变性 15 s, 60 ℃ 退火 1 min, 40 个循环。

1.2.7 统计学分析

数据采用 Graphpad Prism 8 统计学软件进行 t 检验分析, 以 $p < 0.05$ 为显著差异, 具有统计学意义。

2 结果分析

2.1 Runx3 在 T 细胞亚群中的表达水平

Runx3 可能与 T 细胞分化相关^[13], 本文对分离的

T细胞进行体外培养,通过流式细胞仪观察分析细胞的分化表型,结果如图1(a)所示。由图1(a)可知,检测不同培养天数的T细胞亚群分布(Tn: CD45RA⁺ CD45RO- CD62L⁺ CD95⁻、Tscm: CD45RA⁺ CD45RO- CD62L⁺ CD197⁺、类T记忆干细胞, T memory stem-like cell, Tscm-like: CD45RA⁺ CD45RO⁺ CD62L⁺ CD197⁺、Tcm: CD45RA- CD45RO⁺ CD62L⁺ CD197⁺、Tem: CD45RA- CD45RO⁺ CD62 L⁻ CD197⁻、Te: CD45RA⁺ CD45RO⁺ CD62 L⁻ CD197⁻),结果发现T细胞在体外培养状态下会经历逐级分化,其中Tn在活化前占比最高,Tscm比例在培养第7天达到高峰,Tscm-like和Tcm比例在培养第9天达到高峰,Tem和Te在培养第17天达到高峰。接着通过RT-qPCR检测Runx3在T细胞活化前及培养第5、10天和15天不同分化时间的表达,结果用Runx3比对内参GAPDH相对表达倍数表示,结果如图1(b)所示。图1(b)显示:T细胞在活化前Runx3表达较高,活化后Runx3表达量下调。取未活化T细胞(0 d)分别分选CD3⁺、CD3⁺CD4⁺和CD3⁺CD8⁺ Tn, T细胞培养第9天分别分选CD3⁺、CD3⁺CD4⁺和CD3⁺CD8⁺ T细胞门下Tscm、Tscm-like和Tcm, T细胞培养第17天分别分选CD3⁺、CD3⁺CD4⁺和CD3⁺CD8⁺ T细胞门下Tem和Te,并通过RT-qPCR检测上述亚群细胞中Runx3相对表达倍数,初始T细胞中的Runx3表达高于其他亚群,Tn中的Runx3表达均高于其他亚群(图1(c)–(e))。以上结果说明外周血来源的T细胞中,Runx3主要表达于Tn细胞亚群中。

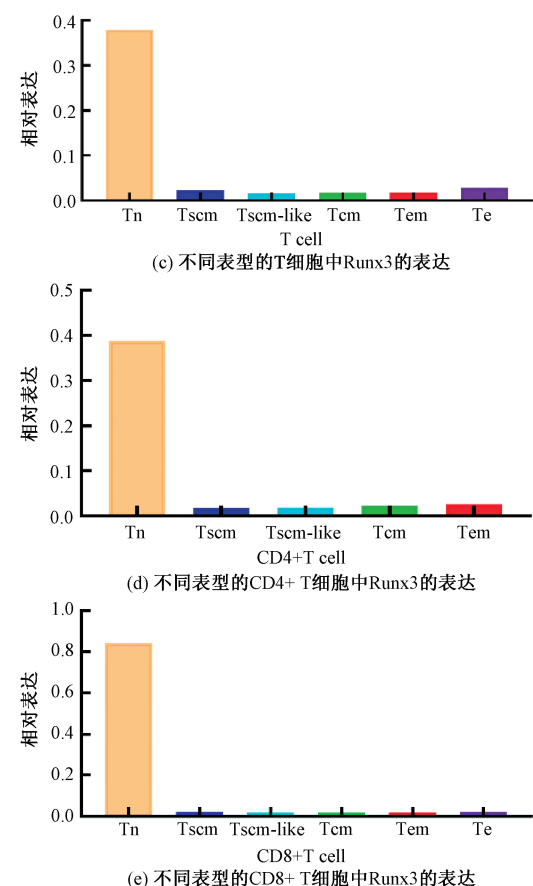
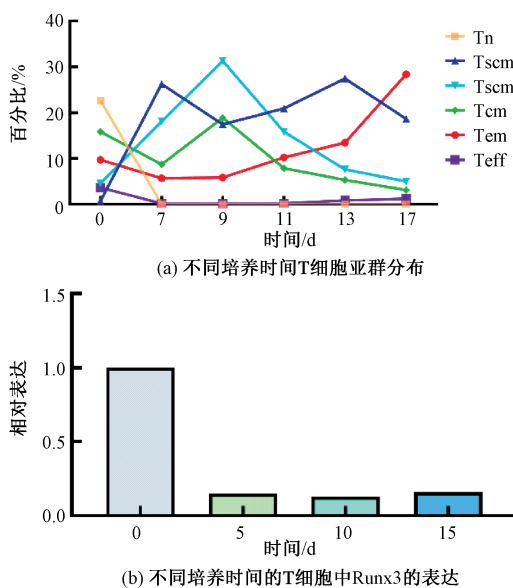


图1 Runx3在不同培养时间和不同表型中的相对表达量

2.2 Runx3过表达载体的构建和病毒包装

由于Runx3在低分化状态的T细胞中高表达,为了探究Runx3是否有利于改善T细胞的功能,本文在T细胞中进行Runx3的外源表达。为了方便指示Runx3的表达,选择Runx3和GFP共表达系统,Runx3和GFP之间选择自剪切多肽P2A连接,Runx3基因通过PCR在5'和3'两端分别添加NheI和EcoRI酶切位点,并与pL-luc-2A-GFP表达载体通过酶切、连接、转化等分子克隆技术,构建得到pL-Runx3-2A-GFP表达载体,大小为8438 bp(见图2(a))。构建得到的质粒分别通过NheI、EcoRI双酶切验证(见图2(b))。将构建获得的pL-Runx3-2A-GFP表达载体进行慢病毒包装及纯化,并感染CHO细胞检测病毒滴度为 6.66×10^8 个/mL。病毒感染293T细胞2 d后提取蛋白,通过流式细胞术和Western blot检测均验证能检出Runx3蛋白的表达(图2(c)),表明成功获得Runx3过表达慢病毒。

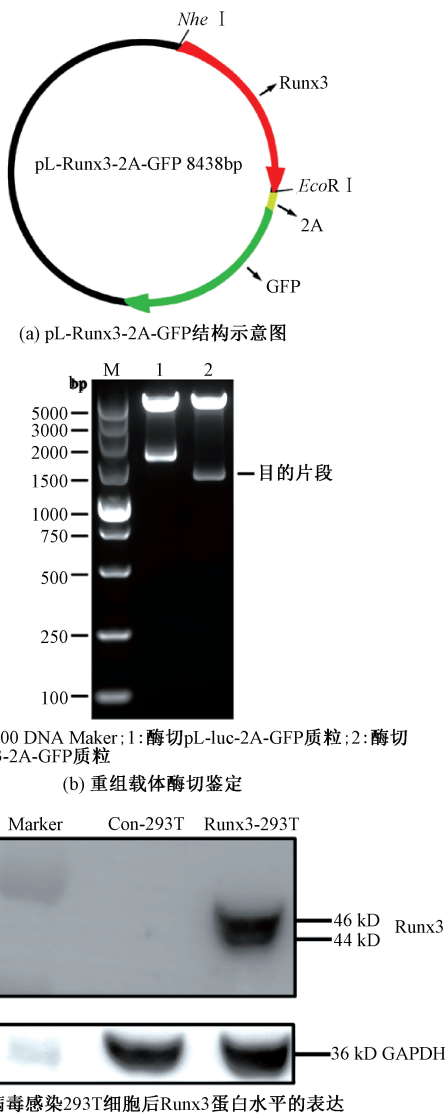
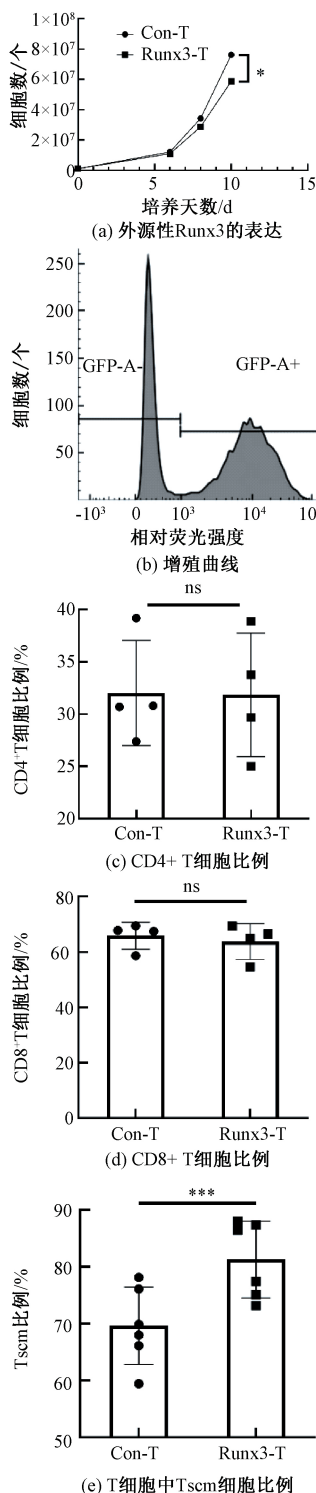


图2 pL-Runx3-2A-GFP过表达载体构建和蛋白检测

2.3 过表达Runx3对Tscm细胞表型维持的影响

病毒感染T细胞后通过流式细胞术检测带有GFP标签蛋白的Runx3,其表达率为62.2%,其命名为Runx3-T(图3(a))。Runx3-T细胞在培养第6、8天和10天进行细胞计数,结果如图3(b)所示。图3(b)表明,Runx3-T细胞增殖速度显著低于对照组,与Wang等^[14]在CD8⁺T细胞上过表达Runx3发现增殖速度降低的结果相一致。为了进一步探究过表达Runx3对T细胞的影响,通过流式细胞术检测T细胞中CD4⁺、CD8⁺T细胞比例和T细胞亚群分布,结果显示实验组和对照组中CD4⁺细胞、CD8⁺细胞比例无显著差异,说明Runx3过表达不影响T细胞CD4和CD8的表达(图3(c)–(d))。T细胞亚群分布显示(图3(e)),与对照组相比,T细胞中过表达Runx3后Tscm亚群比例显著升高。

为了确认Runx3过表达是否仅提高某一亚群细胞中Tscm比例,进一步检测CD4⁺T细胞和CD8⁺T细胞亚群中Tscm细胞比例(图3(f)–(e))。以上结果说明在外周血来源的T细胞中过表达Runx3能影响T细胞表型,提高Tscm细胞比例,有利于维持T细胞的记忆表型。



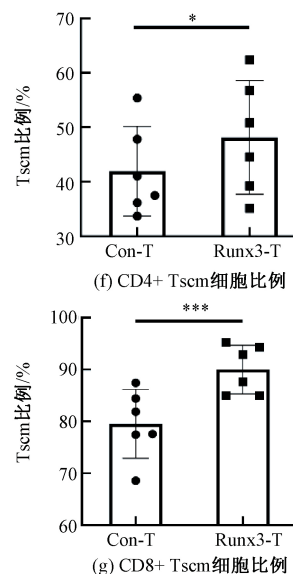


图3 Runx3 过表达对T细胞的表型的影响

注:ns 表示 $p > 0.05$, * 表示 $p < 0.05$, *** 表示 $p < 0.001$ 。

2.4 Runx3 的过表达对T细胞抑制性受体表达的影响

Tim3、Lag3、PD1是T细胞维持低分化状态的指标^[15-17],本文采用流式细胞术检测了T细胞在外源表达Runx3前后上述抑制性受体的表达,结果如图4所示。由图4可知,Runx3-T组Tim3、Lag3、PD1表达量均显著低于对照组,Runx3-T组三阴细胞比例显著高于对照组,单阳、双阳(PD1⁺ Lag3⁺、PD1⁺ Tim3⁺、Lag3⁺ Tim3⁺)、三阳表达比例均显著低于对照组。以上结果表明,在来源于外周血T细胞中,过表达Runx3能够降低T细胞表面抑制性受体的表达,从而有利于延缓T细胞衰竭,进一步维持T细胞功能。

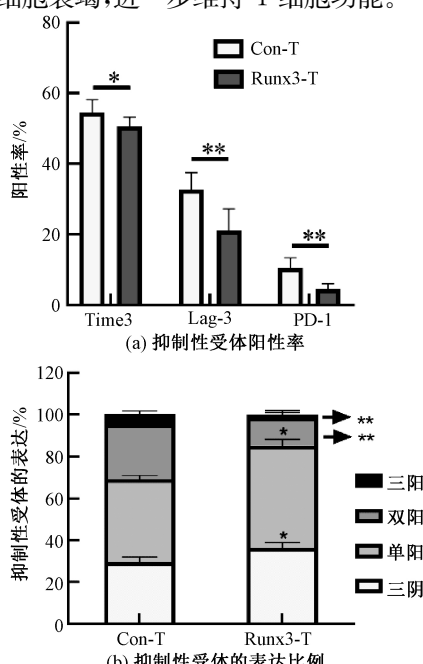


图4 T细胞抑制性标志物的表达
注: * 表示 $p < 0.05$, ** 表示 $p < 0.01$ 。

2.5 Runx3 对记忆表型维持相关基因 Blimp1、SIRT1 表达的影响

为探讨Runx3提高记忆细胞表型的可能途径,本文通过RT-qPCR检测了Runx3相关靶基因(*ITGAL*、*SPP1*、*GATA3*、*CD103*、*Blimp1*和*SIRT1*)^[18-23],结果如图5所示。图5结果表明,Runx3-T细胞中*ITGAL*、*SPP1*、*GATA3*、*CD103*的表达与对照组无显著差异($p > 0.05$)。而相比对照组,Runx3-T细胞中*Blimp1*表达显著降低(p 为0.04),*SIRT1*表达显著升高(p 为0.012)。*Blimp1*和*SIRT1*均与T细胞的分化与记忆表型维持相关,*Blimp1*是CD8⁺效应T细胞终末分化的主调控因子,*Blimp1*缺陷的CD8⁺T细胞无法分化为终末端分化细胞,优先分化为记忆细胞^[24-25]。*SIRT1*表达上调可维持T细胞低分化程度,延缓T细胞衰竭^[26]。以上结果表明,Runx3可能通过调控下游基因*Blimp1*和*SIRT1*影响T细胞表型,使T细胞中Tscm细胞占比提高。上述结果表明在T细胞中过表达Runx3可降低T细胞中PD-1、Tim-3以及Lag3的表达,从而维持T细胞功能,延缓T细胞衰竭。Runx3过表达下调*Blimp1*,上调*SIRT1*,从而降低T细胞分化程度。

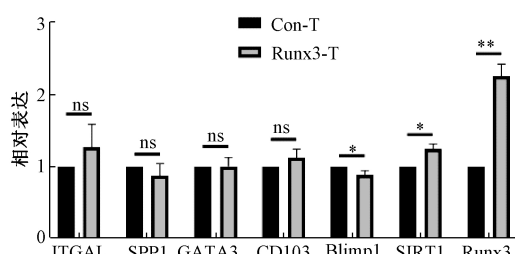


图5 Runx3 靶基因RNA水平表达

3 结论

本文测定Runx3在不同T细胞亚群中的表达差异,并进一步过表达Runx3基因,分析Runx3在T细胞中的功能,主要结论如下:

- a) Runx3蛋白主要表达于Tn细胞亚群中。
- b) T细胞中过表达Runx3可通过下调*Blimp1*RNA水平,上调*SIRT1*RNA水平进一步促进T细胞更趋向Tscm表型。
- c) T细胞中过表达Runx3可降低T细胞上PD-1、Tim-3以及Lag3的表达,从而维持T细胞功能,延缓T细胞衰竭。

Runx3可促进T淋巴细胞趋向Tscm细胞,优化T细胞功能,对于基于人外周血T细胞开展的免

疫细胞治疗具有重要意义,在免疫细胞中过表达Runx3可提高其在体内的存续能力以及更好的维持T细胞功能。本文结果有望为优化基于外周血T细胞的免疫疗法研究提供科学依据。

参考文献:

- [1] Li S, Yang Z, Shen J, et al. Adoptive therapy with CAR redirected T cells for hematological malignancies [J]. *Science China-Life Sciences*, 2016, 59(4): 370-378.
- [2] Mohty M, Gautier J, Malard F, et al. CD19 chimeric antigen receptor-T cells in B-cell leukemia and lymphoma: current status and perspectives [J]. *Leukemia*, 2019, 33(12): 2767-2778.
- [3] 郑敏, 张岚. CAR-T抗肿瘤研究的现状及展望[J]. 山东大学学报(医学版), 2016, 54(11): 1-7.
- [4] Kumar B, Connors T, Farber D. Human T cell development, localization, and function throughout life [J]. *Immunity*, 2019, 48(2): 202-213.
- [5] Costa P, Lahoz-beneytez J, Boelen L, et al. Human T_{scm} cell dynamics in vivo are compatible with long-lived immunological memory and stemness [J]. *PLOS Biology*, 2018, 16(6): 1-22.
- [6] Gattinoni L, Lugli E, Ji Y, et al. A human memory T-cell subset with stem cell-like properties [J]. *Nature Medicine*, 2011, 17(10): 1290-1297.
- [7] Lugli E, Dominguez M, Gattinoni L, et al. Superior T memory stem cell persistence supports long-lived T cell memory [J]. *Journal of Clinical Investigation*, 2013, 123(2): 594-599.
- [8] Li Q, Ito K, Sakakura C, et al. Causal relationship between the loss of Runx3 expression and gastric cancer [J]. *Cell*, 2002, 109(1): 113-124.
- [9] Levanon D, Bettoun D, Harris-cerruti C, et al. The Runx3 transcription factor regulates development and survival of TrkC dorsal root ganglia neurons [J]. *EMBO Journal*, 2002, 21(13): 3354-3363.
- [10] Collins A, Littman D, Taniuchi I. Runx proteins in transcription factor networks that regulate T-cell lineage choice [J]. *Nature Reviews Immunology*, 2014, 9(2): 106-115.
- [11] Issuree P, Ng C, Littman D. Heritable gene regulation in the CD4: CD8 T cell lineage Choice [J]. *Frontiers in Immunology*, 2017, 8(291): 118-132.
- [12] Shan Q, Zeng Z, Xing S, et al. Runx3 guards cytotoxic CD8⁺ effector T cells against deviation towards T_{FH} cell lineage [J]. *Nature Immunology*, 2017, 18(8): 931-939.
- [13] Nowyhed H, Huynh T, Blatchley A, et al. The nuclear receptor Nr4a1 controls CD8 T cell development through transcriptional suppression of Runx3 [J]. *Scientific Reports*, 2015, 5(1): 9059.
- [14] Wang D, Diao H, Getzler AJ, et al. The transcription factor Runx3 establishes chromatin accessibility of cis-regulatory landscapes that drive memory cytotoxic T lymphocyte formation [J]. *Immunity*, 2018, 48(4): 659-674.
- [15] Wolf Y, Anderson A, Kuchroo V. Tim3 comes of age as an inhibitory receptor [J]. *Nature Reviews Immunology*, 2019, 20(3): 173-185.
- [16] Hui E, Cheung J, Zhu J, et al. T cell costimulatory receptor CD28 is a primary target for PD-1-mediated inhibition [J]. *Science*, 2017, 355(6332): 1428-1433.
- [17] Anderson A, Joller N, Kuchroo V. Lag-3, Tim-3, and TIGIT co-inhibitory receptors with specialized functions in immune regulation [J]. *Immunity*, 2016, 44(5): 989-1004.
- [18] Capece T, Walling B, Lim K, et al. A novel intracellular pool of LFA-1 is critical for asymmetric CD8⁺ T cell activation and differentiation [J]. *Journal of Cell Biology*, 2017, 216(11): 3817-3829.
- [19] Abel B, Freigang S, Bachmann MF, et al. Osteopontin is not required for the development of Th1 responses and viral immunity [J]. *Journal of Immunology*, 2005, 175(9): 6006-6013.
- [20] Renkl A, Wussler J, Ahrens T, et al. Osteopontin functionally activates dendritic cells and induces their differentiation toward a Th1-polarizing phenotype [J]. *Blood*, 2005, 106(3): 946-955.
- [21] Hosokawa H, Tanaka T, Endo Y, et al. Akt1-mediated Gata3 phosphorylation controls the repression of IFN γ in memory-type Th2 cells [J]. *Nature Communications*, 2016, 7(1): 273-285.
- [22] Ho I, Tai T, Pai S. GATA3 and the T-cell lineage: Essential functions before and after T-helper-2-cell differentiation [J]. *Nature Reviews Immunology*, 2009, 9(2): 125-135.
- [23] Hu X, Li Y, Li Q, et al. ITGAE defines CD8⁺ tumor-infiltrating lymphocytes predicting a better prognostic survival in colorectal cancer [J]. *EBio Medicine*, 2018, 35(1): 178-188.
- [24] Crotty S, Johnston R, Schoenberger S. Effectors, and memories: Bcl-6 and Blimp-1 in T and B lymphocyte differentiation [J]. *Nature Immunology*, 2010, 11(2): 114-120.
- [25] Kallies A, Xin A, Belz G, et al. Blimp-1 transcription factor is required for the differentiation of effector CD8⁽⁺⁾ T cells and memory responses [J]. *Immunity*, 2009, 31(2): 283-295.
- [26] Kuroda S, Yamazaki M, Abe M, et al. Basic leucine zipper transcription factor, ATF-like (BATF) regulates epigenetically and energetically effector CD8 T-cell differentiation via Sirt1 expression [J]. *PNAS*, 2011, 108(36): 14885-14889.